

Antiproliferative activity of a series of copper(II) complexes derived from a furan-containing *N*-acylhydrazone: monomers, dimers, charge status, and cell mechanistic studies on triple negative breast cancer cells

Olivia Espíndola-Moreno¹, Fagner da Silva Moura², Lucía Santa María de la Parra¹, Carolina Stelle², Jilder D. P. Serna³, Renata Diniz⁴, Nicolás A. Rey^{2*}, Ignacio E. León^{1,5*}

¹ CEQUINOR (UNLP, CCT-CONICET La Plata, asociado a CIC), Departamento de Química, Facultad de Ciencias Exactas, Universidad Nacional de La Plata. Blvd. 120 N° 1465, La Plata (1900), Argentina.

² LABSO-Bio (CTC, PUC-Rio), Departamento de Química, Pontifícia Universidade Católica do Rio de Janeiro. Rua Marquês de São Vicente, 225 - Gávea, Rio de Janeiro (22453-900), RJ, Brasil.

³ Centro Brasileiro de Pesquisas Físicas. Rua Dr. Xavier Sigaud, 150 - Botafogo, Rio de Janeiro (22290-180), RJ, Brasil.

⁴ Grupo de Cristalografia Química (ICEEx, UFMG), Departamento de Química, Universidade Federal de Minas Gerais. Av. Presidente Antônio Carlos, 6627 - Pampulha, Belo Horizonte (31270-901), MG, Brasil.

⁵ Cátedra de Fisiopatología, Departamento de Ciencias Biológicas, Facultad de Ciencias Exactas, Universidad Nacional de La Plata. 47 y 115, La Plata 1900, Argentina.

* ileon@biol.unlp.edu.ar, nicoarey@puc-rio.br (joint corresponding authors).

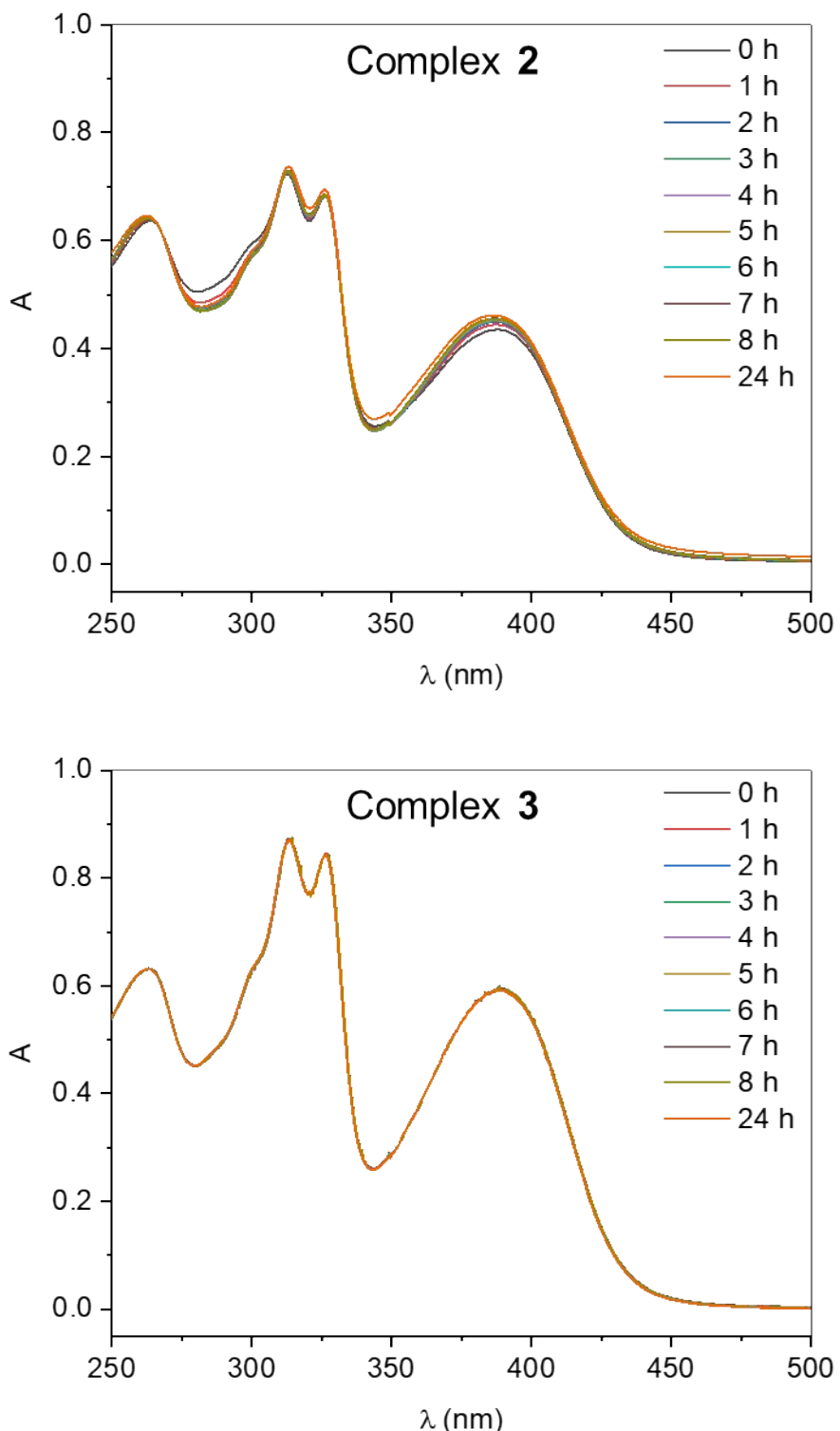


Figure SM1. UV-Vis stability evaluation for complexes **2** and **3** at 2×10^{-5} mol L⁻¹, under conditions similar to those used in the cell studies (0.5% DMSO / PBS, pH 7.4), monitored over 24 h.

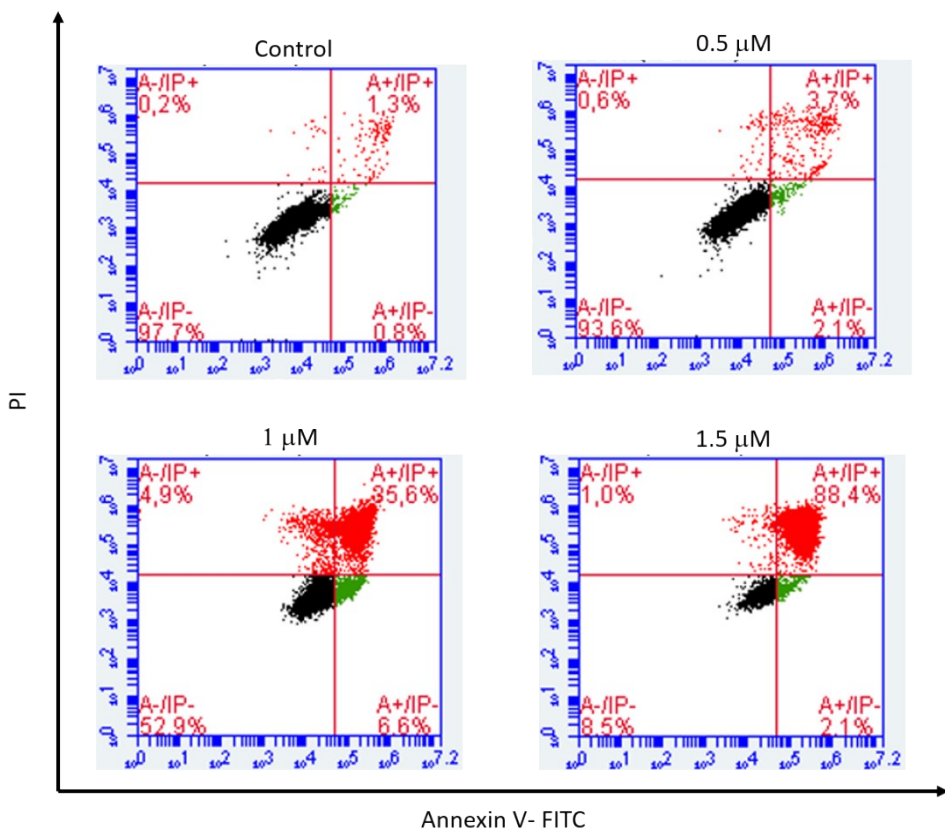


Figure SM2. Apoptosis dot plots on MDA-MB-231 cells treated with complex **2** (0.5, 1 and 1.5 μM) obtained by flow cytometry.

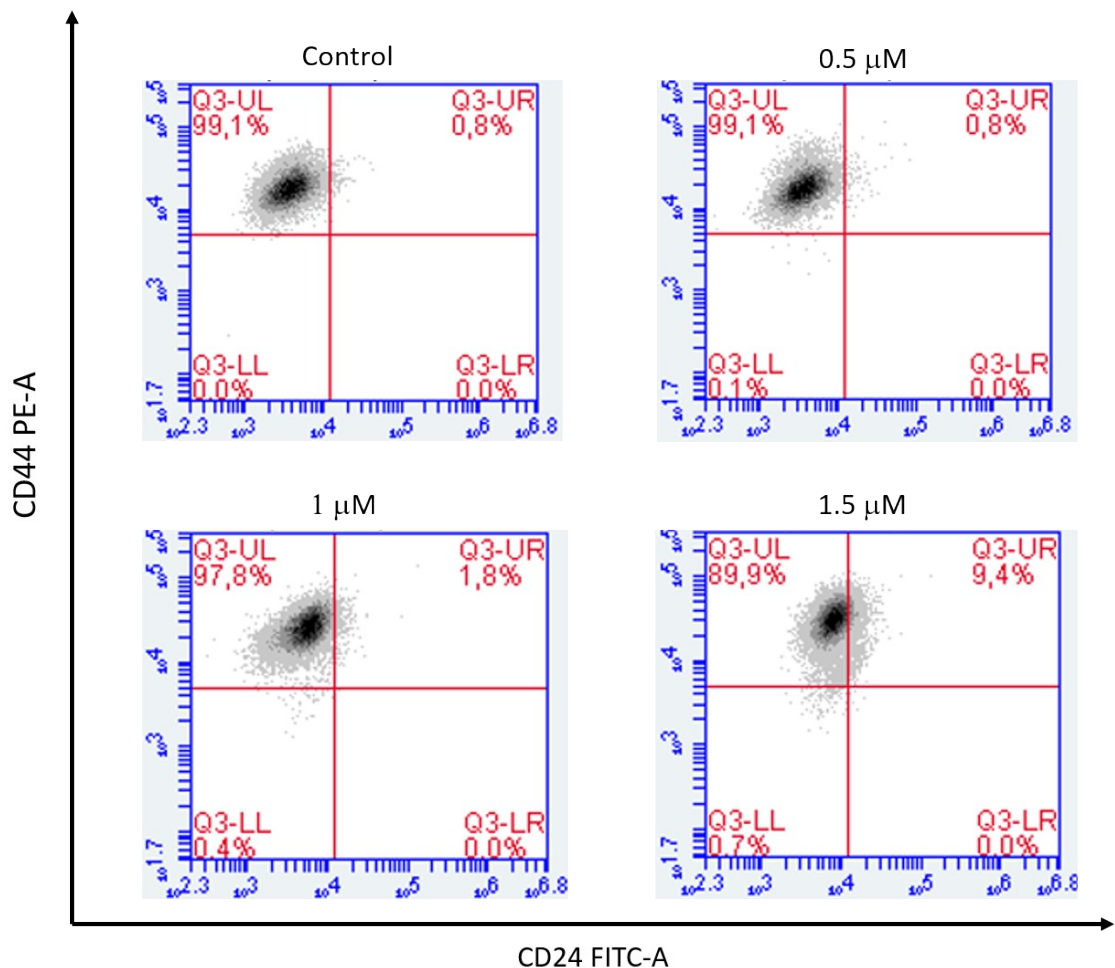


Figure SM3. CSC dot plots on MDA-MB-231 cells treated with complex **2** (0.5, 1 and 1.5 μ M) obtained by flow cytometry.